

Propagazione in mezzi omogenei

Soluzione di onda piana nel DT

$$\begin{aligned}\vec{e}(\vec{r}, t) &= \vec{e}_+(\vec{r} \cdot \hat{k} - vt), \\ \vec{h}(\vec{r}, t) &= \frac{1}{\zeta} \hat{k} \times \vec{e}_+(\vec{r} \cdot \hat{k} - vt),\end{aligned}$$

con \hat{k} versore di propagazione dell'onda e

$$\zeta = \sqrt{\frac{\mu}{\varepsilon}}, \quad v = \frac{1}{\sqrt{\varepsilon\mu}}.$$

Per il vuoto $\varepsilon_0 = 8.854185 \cdot 10^{-12} \text{ F/m}$ e $\mu_0 = 4\pi \cdot 10^{-7} \text{ H/m}$, da cui

$$\zeta_0 = \sqrt{\frac{\mu_0}{\varepsilon_0}} \simeq 120\pi \simeq 377 \Omega, \quad v = \frac{1}{\sqrt{\varepsilon_0\mu_0}} = c \simeq 300 \cdot 10^6 \text{ m/s}.$$

Soluzione di onda piana nel DF

$$\begin{aligned}\vec{E}(\vec{r}, \omega) &= \vec{E}_+(\omega) \exp(-j\vec{k} \cdot \vec{r}), \quad \hat{k} \cdot \vec{E}_+ = 0, \\ \vec{H}(\vec{r}, \omega) &= \frac{1}{\zeta} \vec{k} \times \vec{E}(\vec{r}, \omega),\end{aligned}$$

dove \hat{k} è il versore di propagazione dell'onda e $\vec{k} = k \hat{k}$ con

$$k = \omega \sqrt{\varepsilon\mu} = \beta - j\alpha, \quad \vec{k} \cdot \vec{k} = \omega^2 \varepsilon\mu = k^2.$$

Lunghezza d'onda $\lambda = 2\pi/\beta$. Velocità di fase $v_f = \omega/\beta$. Velocità di gruppo $v_g = \partial\omega/\partial\beta$.

Plasma ad un solo costituente, freddo e privo di collisioni

$$\varepsilon_{eq} = \varepsilon_0 \left\{ 1 - \frac{\omega_p^2}{\omega^2} \right\}, \quad \omega_p^2 = \sqrt{\frac{Nq^2}{\varepsilon_0 m}},$$

con N numero di elettroni per unità di volume. Nel caso della ionosfera, essendo la carica dell'elettrone $q = -1.602 \cdot 10^{-19} \text{ C}$ e la massa dell'elettrone $m = 9.10956 \cdot 10^{-31} \text{ Kg}$, si ha

$$f_p = \frac{\omega_p}{2\pi} \simeq 8.98\sqrt{N}.$$

Velocità di fase $v_f = c/\sqrt{1 - \omega_p^2/\omega^2}$. Velocità di gruppo $v_g = c^2/v_f$.

Mezzo dielettrico

E' detto mezzo dielettrico un mezzo per cui $\mu \simeq \mu_0$ e $\sigma/\omega\varepsilon \ll 1$.

Nel caso in cui oltre alla conducibilità σ siano presenti perdite di isteresi dielettrica, cioè $\varepsilon = \varepsilon_1 - j\varepsilon_2$, si ha

$$k \simeq \omega \sqrt{\varepsilon_1 \mu_0} \left(1 - j \frac{\tan(\gamma)}{2} \right),$$

$$\zeta \simeq \sqrt{\frac{\mu_0}{\varepsilon_1}} \left(1 + j \frac{\tan(\gamma)}{2} \right),$$

dove γ è definito angolo di perdita

$$\tan(\gamma) = \frac{\sigma + \omega\varepsilon_2}{\omega\varepsilon_1}.$$

Mezzo conduttore

E' detto mezzo conduttore un mezzo per cui $\sigma/\omega\varepsilon \gg 1$.

$$k \simeq (1 - j) \sqrt{\frac{\omega\mu_0\sigma}{2}},$$

$$\zeta \simeq (1 + j) \sqrt{\frac{\omega\mu_0}{2\sigma}},$$

da cui, definendo $\delta = \sqrt{2/\omega\mu_0\sigma}$ profondità di penetrazione,

$$k \simeq \frac{1 - j}{\delta}, \quad \zeta \simeq \frac{1 + j}{\sigma\delta}.$$

Condizioni al contorno

mezzo reale	p.e.c.	p.m.c.
$\hat{n} \times \vec{E}_1 _S = \hat{n} \times \vec{E}_2 _S$	$\hat{n} \times \vec{E}_1 _S = 0$	$\hat{n} \times \vec{E}_1 _S = -\vec{J}_{ms}$
$\hat{n} \times \vec{H}_1 _S = \hat{n} \times \vec{H}_2 _S$	$\hat{n} \times \vec{H}_1 _S = \vec{J}_s$	$\hat{n} \times \vec{H}_1 _S = 0$
$\hat{n} \cdot \vec{D}_1 _S = \hat{n} \cdot \vec{D}_2 _S$	$\hat{n} \cdot \vec{D}_1 _S = \rho_s$	$\hat{n} \cdot \vec{D}_1 _S = 0$
$\hat{n} \cdot \vec{B}_1 _S = \hat{n} \cdot \vec{B}_2 _S$	$\hat{n} \cdot \vec{B}_1 _S = 0$	$\hat{n} \cdot \vec{B}_1 _S = \rho_{ms}$

Polarizzazione di un'onda piana

$$\vec{e}(z, t)|_{z=0} = e_x \hat{x} + e_y \hat{y} = a_x \cos(\omega t + \delta_x) \hat{x} + a_y \cos(\omega t + \delta_y) \hat{y}.$$

- **Polarizzazione lineare:** a_x, a_y qualunque, $\delta = \delta_y - \delta_x = 0$ oppure $\delta = \delta_y - \delta_x = \pi$.

Angolo che il vettore campo elettrico forma con l'asse x al variare del tempo

$$\alpha = \arctan(e_y/e_x) = \arctan(a_y/a_x) = \text{cost}.$$

- **Polarizzazione circolare:** $a = b$, $\delta = \delta_y - \delta_x = \pm\pi/2$.

$\delta = \delta_y - \delta_x = +\pi/2$ polarizzazione circolare sinistrorsa (LHCP);

$\delta = \delta_y - \delta_x = -\pi/2$ polarizzazione circolare destrorsa (RHCP).

Angolo che il vettore campo elettrico forma con l'asse x al variare del tempo

$$\alpha = \arctan(e_y/e_x) = \mp\omega t.$$

- **Polarizzazione ellittica:** a_x, a_y arbitrari, $\delta = \delta_y - \delta_x$ arbitrario.

$0 < \delta = \delta_y - \delta_x < \pi$ polarizzazione sinistrorsa (LH);

$-\pi < \delta = \delta_y - \delta_x < 0$ polarizzazione destrorsa (RH).

Angolo che il vettore campo elettrico forma con l'asse x al variare del tempo:

$$\alpha = \arctan(e_y/e_x) = \arctan\left(\frac{a_y \cos(\omega t + \delta_y)}{a_x \cos(\omega t + \delta_x)}\right).$$

Angolo di orientazione ψ (angolo compreso tra l'asse x e il semiasse maggiore)

$$\tan(2\psi) = \frac{2a_x a_y}{a_x^2 - a_y^2} \cos(\delta).$$

Semiasse maggiore a e minore b dell'ellisse

$$a = \frac{a_x a_y |\sin(\delta)|}{\sqrt{a_x^2 \sin(\psi)^2 + a_y^2 \cos(\psi)^2 - a_x a_y \sin(2\psi) \cos(\delta)}},$$

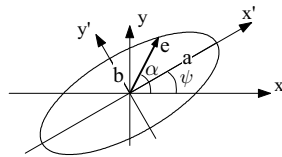
$$b = \frac{a_x a_y |\sin(\delta)|}{\sqrt{a_x^2 \cos(\psi)^2 + a_y^2 \sin(\psi)^2 + a_x a_y \sin(2\psi) \cos(\delta)}}.$$

Angolo di eccentricità γ

$$\tan(\gamma) = \pm \frac{b}{a},$$

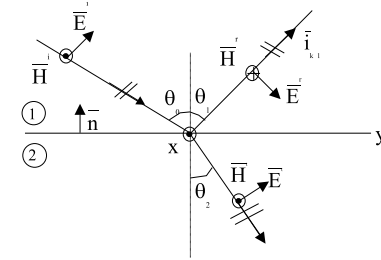
dove

$$\sin(2\gamma) = \frac{2a_x a_y}{a_x^2 + a_y^2} \sin(\delta), \quad -\frac{\pi}{4} \leq \gamma \leq \frac{\pi}{4}.$$



Riflessione e rifrazione di un'onda piana alla superficie di discontinuità fra due mezzi

Polarizzazione Parallela



Polarizzazione parallela: geometria del problema.

• Campo incidente

$$\vec{E}^i = \vec{E}_+^{(1)} e^{-jk_1 \hat{i}_{k_1} \cdot \vec{r}},$$

$$\vec{H}^i = \frac{1}{\zeta_1} \hat{i}_{k_1} \times \vec{E}^i,$$

con $\vec{r} = x\hat{x} + y\hat{y} + z\hat{z}$ e

$$\vec{E}_+^{(1)} = E_+^{(1)} (\cos \theta_1 \hat{y} + \sin \theta_1 \hat{z}), \quad E_+^{(1)} \in \mathbb{C}$$

$$\hat{i}_{k_1} = \sin \theta_1 \hat{y} - \cos \theta_1 \hat{z}.$$

Quindi

$$\vec{E}^i = E_+^{(1)} (\cos \theta_1 \hat{y} + \sin \theta_1 \hat{z}) e^{-jk_1 \sin \theta_1 y} e^{jk_1 \cos \theta_1 z},$$

$$\vec{H}^i = \frac{E_+^{(1)}}{\zeta_1} \hat{x} e^{-jk_1 \sin \theta_1 y} e^{jk_1 \cos \theta_1 z}.$$

• Campo riflesso

$$\vec{E}^r = \vec{E}_-^{(1)} e^{-jk_1 \hat{i}_{k_1} \cdot \vec{r}},$$

$$\vec{H}^r = \frac{1}{\zeta_1} \hat{i}_{k_1} \times \vec{E}^r,$$

con

$$\vec{E}_-^{(1)} = E_-^{(1)} (\cos \theta_1 \hat{y} - \sin \theta_1 \hat{z}), \quad E_-^{(1)} \in \mathbb{C}$$

$$\hat{i}_{k_1} = \sin \theta_1 \hat{y} + \cos \theta_1 \hat{z}.$$

Quindi

$$\begin{aligned}\vec{E}^r &= E_-^{(1)} (\cos \theta_1 \hat{y} - \sin \theta_1 \hat{z}) e^{-jk_1 \sin \theta_1 y} e^{-jk_1 \cos \theta_1 z}, \\ \vec{H}^r &= -\frac{E_-^{(1)}}{\zeta_1} \hat{x} e^{-jk_1 \sin \theta_1 y} e^{-jk_1 \cos \theta_1 z}.\end{aligned}$$

• **Campo trasmesso**

$$\begin{aligned}\vec{E}^t &= \vec{E}_+^{(2)} e^{-jk_2 \hat{k}_2 \cdot \vec{r}}, \\ \vec{H}^t &= \frac{1}{\zeta_2} \hat{k}_2 \times \vec{E}^t,\end{aligned}$$

con

$$\begin{aligned}\vec{E}_+^{(2)} &= E_+^{(2)} (\cos \theta_2 \hat{y} + \sin \theta_2 \hat{z}), \quad E_+^{(2)} \in \mathbb{C}, \\ \hat{k}_2 &= \sin \theta_1 \hat{y} - \cos \theta_1 \hat{z}.\end{aligned}$$

Quindi

$$\begin{aligned}\vec{E}^t &= E_+^{(2)} (\cos \theta_2 \hat{y} + \sin \theta_2 \hat{z}) e^{-jk_2 \sin \theta_2 y} e^{jk_2 \cos \theta_2 z}, \\ \vec{H}^t &= \frac{E_+^{(2)}}{\zeta_2} \hat{x} e^{-jk_2 \sin \theta_2 y} e^{jk_2 \cos \theta_2 z}.\end{aligned}$$

Coefficiente di riflessione parallela

$$\Gamma_{\parallel} = \frac{\vec{E}^r \cdot \hat{y}}{\vec{E}^i \cdot \hat{y}} = \frac{E_-^{(1)} \cos \theta_1}{E_+^{(1)} \cos \theta_1} = \frac{\zeta_2 \cos \theta_2 - \zeta_1 \cos \theta_1}{\zeta_2 \cos \theta_2 + \zeta_1 \cos \theta_1}.$$

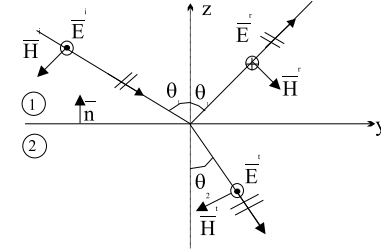
Coefficiente di trasmissione parallela

$$\tau_{\parallel} = \frac{\vec{E}^t \cdot \hat{y}}{\vec{E}^i \cdot \hat{y}} = \frac{E_-^{(2)} \cos \theta_2}{E_+^{(1)} \cos \theta_1} = \frac{2\zeta_2 \cos \theta_2}{\zeta_2 \cos \theta_2 + \zeta_1 \cos \theta_1},$$

da cui risulta $\tau_{\parallel} = 1 + \Gamma_{\parallel}$. Per il riferimento assunto in figura risulta

$$\begin{aligned}E_-^{(1)} &= E_+^{(1)} \Gamma_{\parallel}, \\ E_+^{(2)} &= E_+^{(1)} \tau_{\parallel} \frac{\cos \theta_1}{\cos \theta_2}.\end{aligned}$$

Polarizzazione perpendicolare



Polarizzazione perpendicolare: geometria del problema.

Coefficiente di riflessione perpendicolare

$$\Gamma_{\perp} = \frac{\vec{E}^r \cdot \hat{x}}{\vec{E}^i \cdot \hat{x}} = \frac{E_-^{(1)}}{E_+^{(1)}} = \frac{\zeta_2 \cos \theta_1 - \zeta_1 \cos \theta_2}{\zeta_2 \cos \theta_1 + \zeta_1 \cos \theta_2}.$$

Coefficiente di trasmissione perpendicolare

$$\tau_{\perp} = \frac{\vec{E}^t \cdot \hat{x}}{\vec{E}^i \cdot \hat{x}} = \frac{E_+^{(2)}}{E_+^{(1)}} = \frac{2\zeta_2 \cos \theta_1}{\zeta_2 \cos \theta_1 + \zeta_1 \cos \theta_2}.$$

Analogamente al caso di polarizzazione parallela vale la relazione $\tau_{\perp} = 1 + \Gamma_{\perp}$ e per il riferimento assunto in figura risulta

$$\begin{aligned}E_-^{(1)} &= E_+^{(1)} \Gamma_{\perp}, \\ E_+^{(2)} &= E_+^{(1)} \tau_{\perp}.\end{aligned}$$

Energia di un campo elettromagnetico

Teorema di Poynting nel DT

$$\oint_S \vec{s} \cdot \hat{n} dS + \iiint_V \left(\vec{e} \cdot \frac{\partial \vec{d}}{\partial t} + \vec{h} \cdot \frac{\partial \vec{b}}{\partial t} \right) dV + \iiint_V \sigma |\vec{e}|^2 dV = - \iiint_V \vec{e} \cdot \vec{j}_0 dV.$$

dove $\vec{s} = \vec{e} \times \vec{h}$.

Teorema di Poynting nel DF

$$\begin{aligned} \oint_S \vec{S}_r \cdot \hat{n} dS + \omega \iiint_V \left[\frac{\varepsilon_2 |\vec{E}|^2}{2} + \frac{\mu_2 |\vec{H}|^2}{2} \right] dV + \iiint_V \frac{\sigma |\vec{E}|^2}{2} dV = \\ = - \iiint_V \Re [\vec{E} \cdot \vec{J}_0] dV, \end{aligned}$$

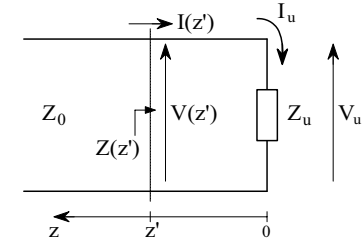
$$\oint_S \vec{S}_j \cdot \hat{n} dS + 2\omega \iiint_V \left[\frac{\mu_1 |\vec{H}|^2}{4} - \frac{\varepsilon_1 |\vec{E}|^2}{4} \right] dV = - \iiint_V \Im [\vec{E} \cdot \vec{J}_0] dV.$$

dove $\vec{S} = \vec{S}_r + j\vec{S}_j = (\vec{E} \times \vec{H}^*)/2$.

Vettore di Poynting associato ad un'onda piana omogenea che si propaga in direzione \hat{k}

$$\vec{S} = \frac{1}{2} \frac{|\vec{E}|^2}{\zeta^*} \hat{k}.$$

Linee di Trasmissione



Linea chiusa su un generico carico Z_u .

$$V(z) = V_+ \exp(jkz) + V_- \exp(-jkz),$$

$$I(z) = \frac{V_+}{Z_0} \exp(jkz) - \frac{V_-}{Z_0} \exp(-jkz),$$

dove

$$k = \omega \sqrt{L_{eq} C_{eq}} = \beta - j\alpha \in \mathbb{C}, \quad Z_0 = \sqrt{\frac{L_{eq}}{C_{eq}}} \in \mathbb{C},$$

$$L_{eq} = L - jR/\omega, \quad C_{eq} = C - jG/\omega.$$

Analisi di una linea di trasmissione chiusa su un generico carico

$$V_+ = \frac{1}{2} (V_u + Z_0 I_u),$$

$$V_- = \frac{1}{2} (V_u - Z_0 I_u),$$

$$V(z) = V_u \cos(kz) + jZ_0 I_u \sin(kz),$$

$$I(z) = I_u \cos(kz) + j \frac{V_u}{Z_0} \sin(kz),$$

$$Z(z) = Z_0 \frac{Z_u + jZ_0 \tan(kz)}{Z_0 + jZ_u \tan(kz)}.$$

Coefficiente di riflessione di tensione $\Gamma(z)$ (di corrente $\Gamma_I(z)$)

$$\Gamma(z) = -\Gamma_I(z) = \frac{V_- \exp(-jkz)}{V_+ \exp(jkz)} = \frac{V_-}{V_+} \exp(-j2kz),$$

$$\Gamma(0) = \frac{V_-}{V_+}, \quad \Gamma(z) = \Gamma(0) \exp(-j2kz),$$

$$V(z) = V_+ \exp(jkz) \{1 + \Gamma(z)\},$$

$$I(z) = \frac{V_+}{Z_0} \exp(jkz) \{1 - \Gamma(z)\},$$

$$Z(z) = Z_0 \frac{1 + \Gamma(z)}{1 - \Gamma(z)},$$

$$\Gamma(z) = \frac{Z(z) - Z_0}{Z(z) + Z_0}.$$

Potenza in una linea di trasmissione

Potenza complessa fluente attraverso una generica sezione trasversa

$$P(z) = \frac{1}{2} V(z) I^*(z) = \frac{1}{2} \frac{|V_+|^2 \exp(-2\text{Im}\{k\}z)}{Z_0^*} \{ [1 - |\Gamma(z)|^2] + [\Gamma(z) - \Gamma^*(z)] \}.$$

Per una linea priva di perdite ($R = G = 0 \Rightarrow k = \beta \in \mathbb{R}, Z_0 = R_0 \in \mathbb{R}$)

Potenza attiva

$$P_a = \frac{1}{2} \frac{|V_+|^2}{R_0} [1 - |\Gamma(z)|^2].$$

Potenza reattiva

$$P_j = \frac{1}{2} \frac{|V_+|^2}{R_0} [\Gamma(z) - \Gamma^*(z)].$$

Potenza progressiva $Z_u = R_0$

$$P_p = \frac{1}{2} \frac{|V_g|^2}{|R_0 + Z_g|^2} R_0.$$

Potenza disponibile $Z_{in} = Z_g^*$

$$P_d = \frac{1}{8} \frac{|V_g|^2}{\Re\{Z_g\}}.$$

Nel caso in cui $Z_u = R_0$ e $Z_g = R_0$ si ottiene

$$P_{max} = \frac{1}{8} \frac{|V_g|^2}{R_0}.$$

Linee con perdite

Ipotesi di linea con piccole perdite

$$R \ll \omega L, \quad G \ll \omega C,$$

arrestando lo sviluppo di Taylor al primo ordine

$$k \simeq \beta - j\alpha, \quad \text{dove}$$

$$\beta \simeq \omega \sqrt{LC},$$

$$\alpha \simeq \frac{1}{2} \sqrt{LC} \left[\frac{R}{L} + \frac{G}{C} \right] = \frac{1}{2} \left[\frac{R}{R_0} + R_0 G \right],$$

con $R_0 = \sqrt{L/C}$ si è indicata l'impedenza caratteristica che la linea presenterebbe in assenza di perdite,

$$Z_0 \simeq \sqrt{\frac{L}{C}} \left[1 + j \frac{1}{2} \left(\frac{G}{\omega C} - \frac{R}{\omega L} \right) \right] = R_0 + jX_0.$$

Considerando nello sviluppo di Taylor anche i termini quadratici:

$$\beta \simeq \omega \sqrt{LC} \left[1 + \frac{1}{2} \left(\frac{G}{2\omega C} - \frac{R}{2\omega L} \right)^2 \right],$$

$$\alpha \simeq \frac{1}{2} \sqrt{LC} \left[\frac{R}{L} + \frac{G}{C} \right] = \frac{1}{2} \left[\frac{R}{R_0} + R_0 G \right],$$

$$Z_0 \simeq \sqrt{\frac{L}{C}} \left[1 + \frac{R^2}{8\omega^2 L^2} - \frac{3G^2}{8\omega^2 C^2} + \frac{RG}{4\omega^2 LC} + j \frac{1}{2} \left(\frac{G}{\omega C} - \frac{R}{\omega L} \right) \right] \simeq R_0'.$$

Effetto della rugosità

$$\alpha = \alpha_s \left[1 + \frac{2}{\pi} \arctan(1.4 \Delta^2 / \delta^2) \right],$$

dove α_s è la costante di attenuazione valutata nel caso di conduttori perfettamente lisci, Δ è la rugosità superficiale media e δ la profondità di penetrazione del conduttore.

Condizione di Heaviside

$$\frac{R}{\omega L} = \frac{G}{\omega C}, \quad Z_0 = \sqrt{\frac{L}{C}} = R_0 \in \mathbb{R}^+, \quad \beta = \omega \sqrt{LC}, \quad \alpha = R/R_0 > 0.$$

Comportamento di una linea per particolari valori del carico

Le linee sono supposte prive di perdite ($R = G = 0$) per cui

$$k = \beta \in \mathbb{R}^+, \quad Z_0 = R_0 \in \mathbb{R}^+.$$

Linea chiusa sulla propria impedenza caratteristica

Linea chiusa su un carico $Z_u = R_0$

$$\begin{aligned} V_+ &= V_u, & V_- &= 0, \\ \Gamma(z) &= 0, \\ V(z) &= V_u \exp(j\beta z) = |V_u| \exp(j\phi_u) \exp(j\beta z), \\ I(z) &= \frac{V_u}{R_0} \exp(j\beta z) = \frac{|V_u|}{R_0} \exp(j\phi_u) \exp(j\beta z), \\ Z(z) &= R_0. \end{aligned}$$

Linea chiusa in corto circuito

Linea chiusa su un carico ai capi del quale la tensione risulta nulla ($V_u = 0$)

$$\begin{aligned} V_+ &= \frac{1}{2} I_u R_0, & V_- &= -V_+, \\ \Gamma(z) &= -\exp(-j2\beta z), \\ V(z) &= 2jV_+ \sin(\beta z) = jI_u R_0 \sin(\beta z), \\ I(z) &= 2\frac{V_+}{R_0} \cos(\beta z) = I_u \cos(\beta z), \\ Z(z) &= jR_0 \tan(\beta z). \end{aligned}$$

Linea chiusa in circuito aperto

Linea chiusa su un carico su cui scorre una corrente nulla ($I_u = 0$)

$$\begin{aligned} V_+ &= \frac{1}{2} V_u, & V_- &= V_+, \\ \Gamma(z) &= \exp(-j2\beta z), \\ V(z) &= 2V_+ \cos(\beta z) = V_u \cos(\beta z), \\ I(z) &= 2j\frac{V_+}{R_0} \sin(\beta z) = j\frac{V_u}{R_0} \sin(\beta z), \\ Z(z) &= -jR_0 \cot(\beta z). \end{aligned}$$

Rapporto d'onda stazionaria

$$(ROS) = \frac{|V(z)|_{max}}{|V(z)|_{min}} = \frac{1 + |\Gamma(z)|}{1 - |\Gamma(z)|},$$

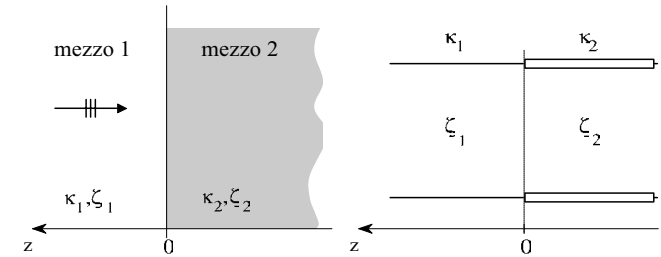
$$|\Gamma(z)| = |\Gamma(0)| = \frac{(ROS) - 1}{(ROS) + 1},$$

$$|Z(z)|_{max} = R_0 \frac{1 + |\Gamma(0)|}{1 - |\Gamma(0)|} = R_0 (ROS),$$

$$|Z(z)|_{min} = R_0 \frac{1 - |\Gamma(0)|}{1 + |\Gamma(0)|} = \frac{R_0}{(ROS)}.$$

Analogia onda piana/linea di trasmissione

Incidenza ortogonale



Equivalenza onda piana/linea di trasmissione: incidenza ortogonale.

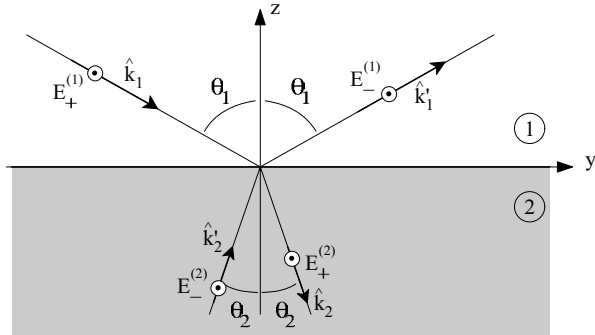
$$E_{x,y} \leftrightarrow V, \quad H_{y,x} \leftrightarrow I, \quad \mu \leftrightarrow L_{eq}, \quad \varepsilon \leftrightarrow C_{eq},$$

Mezzo 2 conduttore elettrico perfetto \leftrightarrow corto circuito

$$\hat{n} \times \vec{E}_1(z) \Big|_{z=0} = 0 \leftrightarrow V_1(z) \Big|_{z=0} = 0.$$

Mezzo 2 conduttore magnetico perfetto \leftrightarrow circuito aperto

$$\hat{n} \times \vec{H}_1(z) \Big|_{z=0} = 0 \leftrightarrow I_1(z) \Big|_{z=0} = 0.$$

Polarizzazione perpendicolare (caso TE_z)

Incidenza obliqua di una onda piana su un semispazio materiale: polarizzazione perpendicolare (caso TE_z).

Equivalenza per il generico n -esimo semispazio

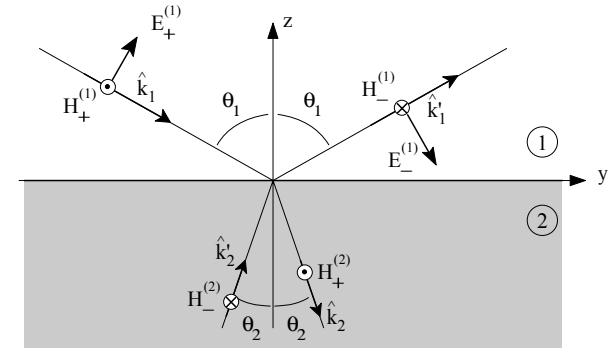
$$\begin{aligned} V_+^{(n)} &\equiv E_+^{(n)}, \\ V_-^{(n)} &\equiv E_-^{(n)}, \\ k_{zn} &= k_n \cos \theta_n, \quad k_{yn} = k_n \sin \theta_n, \\ Z_n &= \frac{\zeta_n}{\cos \theta_n} = \frac{\omega \mu_n}{k_{zn}}. \end{aligned}$$

Componenti del campo totale nel generico n -esimo semispazio:

$$\begin{aligned} E_{xn}(y, z) &= \exp(-jk_{yn}y) V_n(z), \\ H_{yn}(y, z) &= -\exp(-jk_{yn}y) I_n(z), \\ H_{zn}(y, z) &= -\exp(-jk_{yn}y) \frac{\sin \theta_n}{\zeta_n} V_n(z), \end{aligned}$$

dove

$$\begin{aligned} V_n(z) &= \left[V_+^{(n)} \exp(jk_{zn}z) + V_-^{(n)} \exp(-jk_{zn}z) \right], \\ I_n(z) &= \left[\frac{V_+^{(n)}}{Z_n} \exp(jk_{zn}z) - \frac{V_-^{(n)}}{Z_n} \exp(-jk_{zn}z) \right]. \end{aligned}$$

Polarizzazione parallela (caso TM_z)

Incidenza obliqua di una onda piana su un semispazio materiale: polarizzazione parallela (caso TM_z).

Equivalenza per il generico n -esimo semispazio

$$\begin{aligned} V_+^{(n)} &\equiv E_+^{(n)} \cos \theta_n, \\ V_-^{(n)} &\equiv E_-^{(n)} \cos \theta_n, \\ k_{zn} &= k_n \cos \theta_n, \quad k_{yn} = k_n \sin \theta_n, \\ Z_n &= \zeta_n \cos \theta_n = \frac{k_{zn}}{\omega \varepsilon_n}. \end{aligned}$$

Componenti del campo totale nel generico n -esimo semispazio:

$$\begin{aligned} H_{xn}(y, z) &= \exp(-jk_{yn}y) I_n(z), \\ E_{yn}(y, z) &= \exp(-jk_{yn}y) V_n(z), \\ E_{zn}(y, z) &= \exp(-jk_{yn}y) \zeta_n \sin \theta_n I_n(z), \end{aligned}$$

dove

$$\begin{aligned} V_n(z) &= \left[V_+^{(n)} \exp(jk_{zn}z) + V_-^{(n)} \exp(-jk_{zn}z) \right], \\ I_n(z) &= \left[\frac{V_+^{(n)}}{Z_n} \exp(jk_{zn}z) - \frac{V_-^{(n)}}{Z_n} \exp(-jk_{zn}z) \right]. \end{aligned}$$